



LATITUDE INTEGRATION
IDCO-SPECIFICATIE

LATITUDE™ NXT
Patiëntenmanagementsysteem

Outdated version. Do not use.
Version überholt. Nicht verwenden.
Version obsoleta. Ne pas utiliser.
Versión obsoleta. Version obsoleta.
Versione obsoleta. Non utilizzare.
Verouderde versie. Niet gebruiken.
Föråldrad version. Använd ej.
Þaðið ekkið. Myndi myndan.
Versão obsoleta. Não utilize.
Forældet version. Må ikke anvendes.
Zastaralá verze. Nepoužívat.
Utdatert versjon. Skal ikke brukes.
Zastaraná verzia. Nepoužívat.
Elavult verzió. Ne használja!
Wersja nieaktualna. Nie używać.

Outdated version. Do not use.
Version überholt. Nicht verwenden.
Version obsoète. Ne pas utiliser.
Versión obsoleta. No utilizar.
Versione obsoleta. Non utilizzare.
Verouderde versie. Niet gebruiken.
Föråldrad version. Använd ej.
Παλιά έκδοση. Μην την χρησιμοποιείτε.
Versão obsoleta. Não utilize.
Forældet version. Må ikke anvendes.
Zastaralå verze. Nepoužívat.
Utdatert versjon. Skal ikke brukes.
Zastaraná verzia. Nepoužívat!
Elavult verzió. Ne használja!
Wersja nieaktualna. Nie używać.

INHOUDSTABEL

Overzicht	1
LATITUDE IDCO-berichtenspecificatie	1
Segmentstructuur	1
MSH-segmentstructuur	1
PID-segmentstructuur	2
PV1-segmentstructuur	2
PV2-segmentstructuur	2
OBR-segmentstructuur	2
OBX-segmentstructuur	3
Outputparameters	3
Definities van alarmen en waarschuwingen	3
Rapporten	3
Basistermen	4
Gegevens van geïmplanteerde apparaten converteren naar IDCO-berichten	9
Batterijstatus	9
SET_BRADY_SENSOR_TYPE	9
Episodemapping	10
Tellermapping	11
Leadconfiguratiemapping	12
Systeembeperkingen	12
Definities van alarmen en waarschuwingen	13
Rapporten	13
Voorbeeld van IDCO-bestand	14

Outdated version. Do not use.
Version überholt. Nicht verwenden.
Version obsoleté. Nicht verwenden.
Versión obsoleta. Ne pas utiliser.
Versione obsoleta. No utilizar.
Verouderde versie. Niet gebruiken.
Föråldrad version. Använd ej.
Παλιά έκδοση. Μην την χρησιμοποιείτε.
Versão obsoleta. Não utilize.
Forældet version. Må ikke anvendes.
Zastaralå verze. Nepoužívat.
Utdatert versjon. Skal ikke brukes.
Zastaraná verzia. Nepoužívat!
Elavult verzió. Ne használja!
Wersja nieaktualna. Nie używać.

Overzicht

Het LATITUDE-systeem voor patiëntbewaking op afstand van Boston Scientific genereert IDCO-berichten (Implantable Device - Cardiac - Observation) op basis van de specificaties en definities uit dit document. De berichten zijn in overeenstemming met het profiel voor Integrating the Healthcare Enterprise (IHE) Patient Care Device (PCD) Technical Framework IDCO. Deze berichten worden gebruikt om patiëntgegevens over te brengen naar EMR- of CIS-systemen (respectievelijk Electronic Medical Record en Clinical Information System).

Dit document is bedoeld voor klanten van Boston Scientific (BSC) LATITUDE die (1) IDCO-berichten integreren in een EMR-systeem en (2) gebruikmaken van een EMR- of CIS-systeem om patiëntgegevens te volgen en te beheren. De eerste paragraaf van dit document („LATITUDE IDCO-berichtenspecificatie”) is hoofdzakelijk bedoeld voor technisch personeel dat zich bezighoudt met berichtintegratie. Het tweede deel is voornamelijk bedoeld voor de arts als extra informatie bij de Boston Scientific-versie van de gegevens in het bericht.

OPMERKING: *Er wordt aangenomen dat de lezers van deze paragraaf bekend zijn met terminologie, specificatiesyntax, gegevenstypen, berichtstructuren en semantiek voor IDCO-berichten met de HL7- en IDCO-standaard. Meer informatie vindt u via de volgende links:*

- www.hl7.org voor HL7-berichtgeving
- www.ihe.net voor IDCO-berichtgeving
- http://ihe.net/Technical_Framework/index.cfm#pcd voor PCD-09 Technical Framework (bestaat uit vol. 1, 2 en 3)
- <http://standards.ieee.org/findstds/standard/11073-10103-2012.html> voor IEEE IDCO-nomenclatuur

LATITUDE IDCO-berichtenspecificatie

Het LATITUDE IDCO-bericht is een PCD-09-bericht op basis van IHE PCD Technical Framework Revision 2.0, 16 augustus 2012. Conform het technische kader is het bericht een standaard ongevraagd HL7 v2.6-bericht voor orders en observaties met observaties die zijn uitgevoerd door het geïmplanteerde apparaat en die zijn gecodeerd met behulp van de IEEE 11073-10103 IDC-nomenclatuur. In deze internationale standaard wordt een universeel model beschreven voor de interoperabiliteit van medische elektronische gegevens.

Waarden tussen aanhalingstekens in de waardekolommen in onderstaande tabellen geven aan dat het om harde codering gaat die altijd op deze manier wordt weergegeven. Bij waarden zonder aanhalingstekens gaat het om een voorbeeld of een beschrijving van de waarde.

Segmentstructuur

Alle gegevens worden verzonden per PCD-09. De informatie in deze paragraaf is bedoeld om de BSC-output voor IDCO-berichten te definiëren. De informatie is niet volledig en is niet bedoeld om de IDCO-nomenclatuur verder te definiëren.

MSH-segmentstructuur

Het MSH-segment bevat informatie over de verzender en ontvanger van het bericht, het type bericht, een tijdstempel, enzovoort. Het is het eerste segment in elk IDCO-bericht.

ELEMENTNAAM	VOLGORDE	SUBVOLGORDE	WAARDE
Verzendtoepassing	3		„LATITUDE”
Verzendende instelling	4		„BOSTON SCIENTIFIC”
Ontvangende instelling	6		LATITUDE-klinieknaam
Tekenset	18		„UNICODE UTF-8”

PID-segmentstructuur

Het PID-segment bevat patiëntcodegegevens zoals naam, id-codes, postcode, enzovoort. Deze informatie wordt gebruikt voor patiëntkoppeling.

ELEMENTNAAM	VOLGORDE	SUBVOLGORDE	WAARDE
Namengebied-id	3	4	„BSX”

PV1-segmentstructuur

Het segment PV1 (patiëntenbezoek) bevat informatie over de behandelend arts van de patiënt.

ELEMENTNAAM	VOLGORDE	SUBVOLGORDE	WAARDE
Patiëntklasse	2		„R”

PV2-segmentstructuur

Het segment PV2 (patiëntenbezoek) bevat informatie over de LATITUDE-groep van de patiënt.

ELEMENTNAAM	VOLGORDE	SUBVOLGORDE	WAARDE
Naam van organisatie (groep)	23	1	Naam van LATITUDE-groep Voorbeeld: Cardiologie
Identificatienummer (primaire of secundaire patiëntengroep)		3	1 Zie opmerking 1

PV2-opmerkingen

1. De waarde is „1” als het HL7-bestand is gekoppeld aan de primaire LATITUDE-groep; de waarde is „2” als het is gekoppeld aan de secundaire LATITUDE-groep.

OBR-segmentstructuur

OBR-segmenten zijn de sectiekoppen voor afzonderlijke OBX-segmenten voor opgevraagde informatie. Deze bevatten gegevens als tijdstempels, een rapportcode en een unieke door het systeem gegenereerde code.

ELEMENTNAAM	VOLGORDE	SUBVOLGORDE	VOORBEELDWAARDE
Universele servicecode	4		
Code		1	754053
Tekst		2	Zie opmerking 1
Nummer observatiedatum/-tijd	7		20060429080005+0000 Zie opmerking 2
Resultaatstatus	25		„F” Zie opmerking 3

OBR-opmerkingen

1. De tekst voor de universele servicecode heeft de vorm MDC_IDC_ENUM_SESS_TYPE_{sessietype} (bijv. MDC_IDC_ENUM_SESS_TYPE_RemoteScheduled).
2. Observatiedatum/-tijd is de tijdstempel voor het moment waarop het geïmplanteerde apparaat is opgevraagd. De tijdstempel maakt gebruik van de tijdzone die is ingesteld voor de patiënt.
3. Resultaatstatus is „F” (eindresultaten).

OBX-segmentstructuur

OBX-segmenten bevatten gegevens die zijn verzameld gedurende de recentste apparaatopvraging.

ELEMENTNAAM	VOLGORDE	SUBVOLGORDE	VOORBEELDWAARDE
Resultaatstatus observatie	11		„F” Zie opmerking 1
Datum/tijd van de observatie	14		20060317170000+0000 Zie opmerking 2

OBX-opmerkingen

1. Resultaatstatus is „F” (eindresultaten).
2. De datum van de meting wordt vermeld als de datum van de meting afwijkt van de observatiedatum in de OBR.

Outputparameters

- Tekenreeksen worden verzonden in de taal die is geconfigureerd voor de kliniek in LATITUDE.
- Numerieke waarden worden altijd verzonden met de punt „.” als radixpunt (d.w.z. decimaalpunt).

Definities van alarmen en waarschuwingen

- In geval van een waarschuwing gaat aan een of meerdere alarm-NTE’s een waarschuwing-NTE vooraf. Een waarschuwing-NTE bevat een of meerdere waarschuwingen in één NTE.
- Bij een alarm is er sprake van één NTE voor elk alarm.

Rapporten

Gepresenteerd EGM-rapport

Als het gepresenteerde EGM-rapport beschikbaar is in de payload die is ontvangen van de PG, wordt het als PDF bij het bericht gevoegd, en wordt het gekoppeld aan de betreffende APMRT-episode met behulp van de groep-id (OBX-4) voor de APMRT-episode.

Gecombineerd follow-uprapport

Een gecombineerd follow-uprapport wordt als PDF aan een bericht toegevoegd in een afzonderlijke OBX.

Basistermen

De volgende tabel bevat nomenclatuurtermen die kunnen voorkomen in een BSC IDCO-bericht.

REFERENTIE-ID PREPEND MDC_IDC_	WEERGAVENAAM
DEV	Implanteerbaar cardiaal apparaat
DEV_TYPE	Type implanteerbaar cardiaal apparaat
DEV_MODEL	Model van implanteerbaar cardiaal apparaat
DEV_SERIAL	Serienummer van implanteerbaar cardiaal apparaat
DEV_MFG	Fabrikant van implanteerbaar cardiaal apparaat
DEV_IMPLANT_DT	Implantatiedatum van implanteerbaar cardiaal apparaat
LEAD	Attributen van implanteerbare lead
LEAD_MODEL	Model van implanteerbare lead
LEAD_SERIAL	Serienummer van implanteerbare lead
LEAD_MFG	Fabrikant van implanteerbare lead
LEAD_IMPLANT_DT	Implantatiedatum van implanteerbare lead
LEAD_POLARITY_TYPE	Type polariteit van implanteerbare lead
LEAD_LOCATION	Locatie van implanteerbare lead
LEAD_LOCATION_DETAIL_1	Detail 1 van locatie van implanteerbare lead
SESS	Opvraagsessie
SESS_DTM	Datum/tijd van opvraagsessie
SESS_TYPE	Type opvraagsessie
SESS_CLINIC_NAME	Naam van kliniek
MSMT	Metingen
MSMT_BATTERY	Batterijmetingen
MSMT_BATTERY_DTM	Datum/tijd van batterijmetingen
MSMT_BATTERY_STATUS	Batterijstatus
MSMT_BATTERY_REMAINING_LONGEVITY	Resterende levensduur batterij
MSMT_BATTERY_REMAINING_PERCENTAGE	Resterend percentage batterij
MSMT_CAP	Condensatormetingen
MSMT_CAP_CHARGE_DTM	Datum/tijd van laatste keer opladen van condensator
MSMT_CAP_CHARGE_TIME	Laadtijd van condensator
MSMT_CAP_CHARGE_TYPE	Laadtype van condensator
MSMT_LEADCHNL_[CHAMBER]	Leadkanaalmetingen
MSMT_LEADCHNL_[CHAMBER]_DTM_[STRTEND]	Datum en tijd van leadkanaalmetingen
MSMT_LEADCHNL_[CHAMBER]_LEAD_CHANNEL_STATUS	Leadkanaalstatus

REFERENTIE-ID PREPEND MDC_IDC_	WEERGAVENAAM
MSMT_LEADCHNL_[CHAMBER]_SENSING	Detectiemetingen van leadkanaal
MSMT_LEADCHNL_[CHAMBER]_SENSING_INTR_AMPL_[MMM]	Intrinsieke amplitude leadkanaaldetectie
MSMT_LEADCHNL_[CHAMBER]_SENSING_POLARITY	Polariteit van leadkanaaldetectie
MSMT_LEADCHNL_[CHAMBER]_PACING_THRESHOLD	Metingen van stimulatiedrempel van leadkanaal
MSMT_LEADCHNL_[CHAMBER]_PACING_THRESHOLD_AMPLITUDE	Amplitude van stimulatiedrempel van leadkanaal
MSMT_LEADCHNL_[CHAMBER]_PACING_THRESHOLD_PULSEWIDTH	Pulsduur van stimulatiedrempel van leadkanaal
MSMT_LEADCHNL_[CHAMBER]_PACING_THRESHOLD_MEASUREMENT_METHOD	Meetmethode van stimulatiedrempel van leadkanaal
MSMT_LEADCHNL_[CHAMBER]_PACING_THRESHOLD_POLARITY	Polariteit van stimulatiedrempel van leadkanaal
MSMT_LEADCHNL_[CHAMBER]_IMPEDANCE	Impedantiemetingen van leadkanaal
MSMT_LEADCHNL_[CHAMBER]_IMPEDANCE_VALUE	Impedantiewaarde van leadkanaal
MSMT_LEADCHNL_[CHAMBER]_IMPEDANCE_POLARITY	Polariteit van leadkanaalimpedantie
MSMT_LEADHVCHNL	Leadkanaalmetingen hoog voltage
MSMT_LEADHVCHNL_DTM_[STRTEND]	Datum/tijd leadkanaal hoog voltage
MSMT_LEADHVCHNL_IMPEDANCE	Leadkanaalimpedantie hoog voltage
MSMT_LEADHVCHNL_MEASUREMENT_TYPE	Type leadkanaalmeting hoog voltage
MSMT_LEADHVCHNL_STATUS	Leadkanaalstatus hoog voltage
SET	Instellingen
SET_CRT	CRT-instellingen
SET_CRT_LVRV_DELAY	CRT LV-RV-interval
SET_CRT_PACED_CHAMBERS	Ventriculaire kamers gestimuleerd tijdens CRT-stimulatie

REFERENTIE-ID PREPEND MDC_IDC_	WEERGAVENAAM
SET_LEADCHNL_[CHAMBER]	Leadkanaalinstellingen
SET_LEADCHNL_[CHAMBER]_SENSING	Detectie van leadkanaalinstellingen
SET_LEADCHNL_[CHAMBER]_SENSING_SENSITIVITY	Detectiegevoeligheid leadkanaalinstellingen
SET_LEADCHNL_[CHAMBER]_SENSING_POLARITY	Detectiepolariteit van leadkanaalinstellingen
SET_LEADCHNL_[CHAMBER]_SENSING_ANODE_LOCATION_[1..3]	Anodelocatie detectie leadkanaalinstellingen
SET_LEADCHNL_[CHAMBER]_SENSING_ANODE_ELECTRODE_[1..3]	Anodeconnector detectie leadkanaalinstellingen
SET_LEADCHNL_[CHAMBER]_SENSING_CATHODE_LOCATION_[1..3]	Kathodelocatie detectie leadkanaalinstellingen
SET_LEADCHNL_[CHAMBER]_SENSING_CATHODE_ELECTRODE_[1..3]	Kathodeconnector detectie leadkanaalinstellingen
SET_LEADCHNL_[CHAMBER]_SENSING_ADAPTATION_MODE	Aanpassingsmodus detectie leadkanaalinstellingen
SET_LEADCHNL_[CHAMBER]_PACING	Stimulatie van leadkanaalinstellingen
SET_LEADCHNL_[CHAMBER]_PACING_AMPLITUDE	Stimulatieamplitude van leadkanaalinstellingen
SET_LEADCHNL_[CHAMBER]_PACING_PULSEWIDTH	Pulsduur van stimulatie van leadkanaalinstellingen
SET_LEADCHNL_[CHAMBER]_PACING_POLARITY	Stimulatiepolariteit van leadkanaalinstellingen
SET_LEADCHNL_[CHAMBER]_PACING_ANODE_LOCATION_[1..3]	Anodelocatie stimulatie leadkanaalinstellingen
SET_LEADCHNL_[CHAMBER]_PACING_ANODE_ELECTRODE_[1..3]	Anodeconnector stimulatie leadkanaalinstellingen
SET_LEADCHNL_[CHAMBER]_PACING_CATHODE_LOCATION_[1..3]	Kathodelocatie stimulatie leadkanaalinstellingen
SET_LEADCHNL_[CHAMBER]_PACING_CATHODE_ELECTRODE_[1..3]	Kathodeconnector stimulatie leadkanaalinstellingen
SET_LEADCHNL_[CHAMBER]_PACING_CAPTURE_MODE	Stimulatiecapturemodus leadkanaalinstellingen

REFERENTIE-ID PREPEND MDC_IDC_	WEERGAVENAAM
SET_BRADY	Bradyinstellingen
SET_BRADY_MODE	Bradyinstellingsmodus (NBG-code)
SET_BRADY_LOWRATE	Basisfrequentie bradyinstellingen
SET_BRADY_SENSOR_TYPE	Sensortype bradyinstellingen
SET_BRADY_MAX_TRACKING_RATE	Maximale trackingfrequentie bradyinstellingen
SET_BRADY_MAX_SENSOR_RATE	Maximale sensorfrequentie bradyinstellingen
SET_BRADY_SAV_DELAY_[HIGHLOW]	SAV-interval bradyinstellingen
SET_BRADY_PAV_DELAY_[HIGHLOW]	PAV-interval bradyinstellingen
SET_BRADY_AT_MODE_SWITCH_MODE	Switchmodus AT-modus bradyinstellingen
SET_BRADY_AT_MODE_SWITCH_RATE	Switchfrequentie AT-modus bradyinstellingen
SET_TACHYTHERAPY	Instellingen tachytherapie
SET_TACHYTHERAPY_VSTAT	Ventriculaire status tachytherapie-instellingen
SET_ZONE	Zone-instellingen
SET_ZONE_TYPE	Typecategorie zone-instellingen
SET_ZONE_VENDOR_TYPE	Categorie leverancierstype zone-instellingen
SET_ZONE_STATUS	Status zone-instellingen
SET_ZONE_DETECTION_INTERVAL	Detectie-interval zone-instellingen
SET_ZONE_TYPE_ATP_[1..10]	ATP-type zone-instellingen
SET_ZONE_NUM_ATP_SEQS_[1..10]	Aantal ATP-reeksen zone-instellingen
SET_ZONE_SHOCK_ENERGY_[1..10]	Shockenergie zone-instellingen
SET_ZONE_NUM_SHOCKS_[1..10]	Aantal shocks zone-instellingen
STAT	Statistieken
STAT_DTM_[STRTEND]	Datum/tijd statistieken
STAT_BRADY	Bradystatistieken
STAT_BRADY_DTM_[STRTEND]	Datum/tijd bradystatistieken
STAT_BRADY_RA_PERCENT_PACED	RA-stimulatiepercentage bradystatistieken
STAT_BRADY_RV_PERCENT_PACED	RV-stimulatiepercentage bradystatistieken
STAT_AT	Atriale tachystatistieken
STAT_AT_DTM_[STRTEND]	Datum/tijd atriale tachystatistieken
STAT_AT_BURDEN_PERCENT	AT/AF-belastingpercentage atriale tachystatistieken
STAT_CRT	CRT-statistieken
STAT_CRT_DTM_[STRTEND]	Datum/tijd CRT-statistieken
STAT_CRT_LV_PERCENT_PACED	LV-stimulatiepercentage CRT-statistieken

REFERENTIE-ID PREPEND MDC_IDC_	WEERGAVENAAM
STAT_EPISODE	Episodestatistieken
STAT_EPISODE_TYPE	Categorie type episodestatistieken
STAT_EPISODE_TYPE_INDUCED	Type episodestatistieken geïndiceerd
STAT_EPISODE_VENDOR_TYPE	Categorie leverancierstype episodestatistieken
STAT_EPISODE_RECENT_COUNT	Recent aantal episodestatistieken
STAT_EPISODE_RECENT_COUNT_DTM_ [STRTEND]	Recente datum/tijd episodestatistieken
EPISODE	Episode
EPISODE_ID	Episodedecode
EPISODE_DTM	Datum/tijd van episode
EPISODE_TYPE	Categorie episodetype
EPISODE_TYPE_INDUCED	Vlag episodetype geïndiceerd
EPISODE_VENDOR_TYPE	Categorie leverancierstype episode
EPISODE_ATRIAL_INTERVAL_AT_DETECTION	Detectie-interval episode atriaal
EPISODE_VENTRICULAR_INTERVAL_AT_DETECTION	Detectie-interval episode ventriculair
EPISODE_DETECTION_THERAPY_DETAILS	Episodedetectie en therapiedetails
EPISODE_DURATION	Episodeduur

Outdated Version. Do not use.
 Version obsolete. Nicht verwenden.
 Versión obsoleta. Non utilizar.
 Versione obsoleta. Non utilliser.
 Verouderde versie. Niet gebruiken.
 Föråldrad version. Minva.
 Það er ekki ógán. Mínva.
 Versão obsoleta. Não utilize.
 Forældet version. Må ikke anvendes.
 Zastaralá verze. Nepoužívat.
 Utdatert versjon. Skal ikke brukes.
 Zastaraná verzia. Nepoužívat.
 Elavult verzió. Ne használja!
 Wersja nieaktualna. Nie używać.

Gegevens van geïmplanteerde apparaten converteren naar IDCO-berichten

Batterijstatus

Deze batterijparameters zijn als volgt aan een BSC-batterijstatus gekoppeld:

BSC-BATTERIJSTATUS	IDCO-BATTERIJSTATUS
BOL	BOS
OY	MOS
ERI	RRT
EOL	EOS

Als er bij een geïmplanteerd apparaat sprake is van beperkte telemetrie, kan de batterijstatus van het apparaat ERI of EOL zijn. Beide batterijstatussen resulteren in hetzelfde bericht: ENUM_BATTERY_STATUS_RRT (ERI) in MSMT_BATTERY_STATUS met de ERI-tijdstempel in MSMT_BATTERY_DTM. Dit is alleen van toepassing op beperkte telemetrie.

SET_BRADY_SENSOR_TYPE

Het sensortype wordt verzonden zoals weergegeven in onderstaande tabel.

VERZONDEN WAARDE VOOR SET_BRADY_SENSOR_TYPE VARIABELE OP BASIS VAN INSTELLING VOOR GEÏMPLANTEERD APPARAAT	INSTELLING GEÏMPLANTEERD APPARAAT
„Accelerometer”	Alleen accelerometer
„Minuut Volume”	Alleen MV
„Accelerometer + MV”	Accelerometer en MV

Bovenstaande waarden worden alleen verzonden als de frequentie kan worden bestuurd door de sensor (en kunnen dus niet worden verzonden als de sensor zich in de monitorstatus bevindt).

Bovenstaande waarden worden verzonden als de frequentie kan worden bestuurd in de normale bradymodus of in ATR (d.w.z. de waarde komt niet alleen overeen met de normale brachymodus).

Let op: „ATR excl” kan worden weergegeven in rapporten als de ATR-modus een frequentieadapterende modus is, en als de normale bradymodus niet frequentieadapterend is. In dat geval wordt de tekst (bijv. „Accelerometer”) nog steeds verzonden voor de ATR-modus. De gebruiker kan de brachymodus en ATR-modus bekijken en bepalen of de frequentierespons exclusief voor ATR is.

Episodemapping

Episodes, tellers, enzovoort worden verzonden op basis van de informatie in de opvraging. Dezelfde informatie wordt eerst verzonden en vervolgens opnieuw verstuurd, ook als er opvragingen tussen liggen. De EMR-output komt niet altijd overeen met de weergave in het Quick Notes-rapport, omdat in Quick Notes episodes, waarschuwingen en tellers worden weergegeven sinds de laatste reset. Episodes worden weergegeven in een combinatie van normatieve en leverancierspecifieke typen. Sommige Boston Scientific-episodetypen kunnen niet uniek worden weergegeven in de huidige IDCO-nomenclatuur.

BSC-EPIODE-ID	BSC-EPIODETYPE	NORMATIEF IDCO-EPIODETYPE	LEVERANCIERSPECIEK IDCO-EPIODETYPE
V-x	VF	VF	BSX-Zone_VF
V-x	VT	VT	BSX-Epis_VT
V-x	VT (V>A)	VT	BSX-Epis_VT
V-x	Tachy	Voor SSI-apparaten, bij lead in de: • V – VT • A – AT/AF • Ongespecificeerd – VT	Leeg
V-x	NietAanh.	Voor SSI-apparaten, bij lead in de: • V – VT • A – AT/AF • Ongespecificeerd – VT	indien A, leeg anders BSX-Epis_NSVT
V-x	SVT (V≤A)	SVT	BSX-Zone_SVT
V-x	VT-1	VT	BSX-Epis_VT-1
RMS-x	RMS	Overig	BSX-Epis_RMS
RYTHMIQ-x	RYTHMIQ	Overig	BSX-Epis_RMS
ATR-x	ATR	ATAF	BSX-Epis_ATR
PMT-x	PMT	Overig	BSX-Epis_PMT
PBR-x	PBR	Overig	Geen
PTM-x	PTM	Patiënt geactiveerd	BSX-Epis_PTM
V-x	Cmnd V °	Overig	Geen
V-x	NietAanhV	VT	BSX-Epis_NSVT
APMRT-x	APM RT	Periodieke EGM	BSX-Epis_APMRT
RVAT-x	RV Auto	Overig	Geen
RAAT-x	RA Auto	Overig	Geen
LVAT-x	LV Auto	Overig	Geen
MRI-x	MRI	Overig	Geen

Tellermapping

Sommige tellers worden opgeteld voordat ze in het bericht worden verzonden. De reden hiervoor is dat niet alle Boston Scientific-tellers momenteel kunnen worden weergegeven in de IDCO-nomenclatuur: De verzonden waarden zijn de waarden sinds de laatste reset.

BSC-EPIPODETELLER	STATISTISCH NORMATIEF IDCO-EPIPODETYPE	STATISTISCH LEVERANCIERSPECIFIEK IDCO-EPIPODETYPE
VT (V>A)	VT	BSX-Epis_VT
Tachy	VT	BSX-Epis_VT
NietAanh.	VT	BSX-Epis_NSVT
NietAanhV	VT	BSX-Epis_NSVT
SVT (V≤A)	SVT	BSX-Epis_SVT
ATR	AT/AF	BSX-Epis_ATR
MRI	Overig	Geen
VF	VF	BSX-Epis_VF
VT	VT	BSX-Epis_VT
VT-1	VT	BSX-Epis_VT-1
Cmd	Overig	Geen
Geen therapie geprogrammeerd	Monitor	Geen
Overige niet-behandelde	Overig	Geen
RMS	Overig	BSX-Epis_RMS
RYTHMIQ	Overig	BSX-Epis_RMS
PMT	Overig	BSX-Epis_PMT
PBR	Overig	Geen
PTM	Patiënt geactiveerd	BSX-Epis_PT
APM RT	Periodieke EGM	BSX-Epis_APMRT
RA Auto	Overig	Geen
RV Auto	Overig	Geen
LV Auto	Overig	Geen

Leadconfiguratiemapping

In onderstaande tabel wordt aangegeven hoe leads met meerdere elektroden in IDCO en BSC zijn gedefinieerd. Deze tabel is niet bedoeld als volledige lijst, en bevat alleen gegevens die mogelijk niet duidelijk zijn.

De definities die in BSC worden gebruikt, zijn consistent met de Programmer/Recorder/Monitor (PRM) en de LATITUDE-website.

BSC-ELEKTRODENAAM	IDCO-ELEKTRODELOCATIE	IDCO-ELEKTRODENAAM
Can	Overig	Can
LVTip1	LV	Tip
LVRing2	LV	Ring1
LVRing3	LV	Ring2
LVRing4	LV	Ring3

MDC_IDC_ENUM_ELECTRODE_LOCATION (locatie stimulatie/detectie anode/kathode) bevat momenteel geen lijst voor de pocket (d.w.z. can). Locatie wordt verzonden als „overig” en elektrode als „can”.

De status „lead controleren” geeft aan dat er mogelijk een probleem is met de lead; als de status „lead controleren” echter niet wordt weergegeven, wil dat niet zeggen dat er geen probleem is. Er wordt een leadcontrolestatus verzonden bij een van de volgende statusindicatoren:

- Veiligheidsschakelaar lead
- Impedantie buiten bereik
- Amplitude buiten bereik
- Lage shockimpedantie
- Hoge shockimpedantie
- Hoog voltage tijdens laden

Voor MSMT_LEADCHNL_[CHAMBER] (d.w.z. leadkanaalmetingen zoals intrinsieke amplitude, leadimpedantie, stimulatielijmpeel) is slechts één tijdstempelbereik mogelijk voor alle metingen (dus niet één bereik per meting) in de huidige IDCO-nomenclatuur. Als de meettijden verschillend zijn, wordt er een tijdstempelbereik (d.w.z. MIN, MAX) verzonden dat de tijden van alle metingen bevat. Verder zijn de waarden die worden verzonden een IDCO MEAN-waarde op basis van de IDCO-nomenclatuur. De waarden zijn echter enkele metingen en zijn geen gemiddelde waarden over het tijdstempelbereik.

Systeembeperkingen

- Tachyspecifieke en kamerspecifieke output zijn zo nauwkeurig mogelijk. In sommige gevallen is het echter zeer belangrijk dat de gegevens worden verzonden. Dit, en het feit dat IDCO bepaalde parameters niet kan weergeven, zorgt ervoor dat de gegevens toch worden verzonden. VT-zone-informatie wordt bijvoorbeeld verzonden alsof bradyapparaten een VT-zone zouden hebben.
- Bij apparaten die geen automatische stimulatielijmpeel (autodrempelfunctie) hebben, wordt de laatste poliklinische drempelmeting verzonden.
- Een goede rapportering van de geïmplanteerde apparaatgegevens en alarmmeldingen door het LATITUDE NXT-systeem is afhankelijk van de al dan niet correcte programmering van de klok van het geïmplanteerde apparaat met een Programmer/Recorder/Monitor (PRM). Een goede rapportering kan ook een tijd nadat de klok van het geïmplanteerde apparaat correct geprogrammeerd werd beïnvloed worden, afhankelijk van de hoeveelheid gegevens met onnauwkeurige tijdsinformatie en het tijdsverschil van de klok van het geïmplanteerde apparaat.
- Tekenreeksen worden verzonden in de taal die is geconfigureerd voor de kliniek in LATITUDE.

Definities van alarmen en waarschuwingen

Waarschuwingen en alarmen worden als opmerkingen bij het bericht gevoegd. Deze opmerkingen worden al dan niet in een EMR weergegeven. Een waarschuwing of alarm wordt in het bericht opgenomen als de gegevens die zijn geüpload van de PG de waarschuwing hebben veroorzaakt.

Rapporten

Gepresenteerd EGM-rapport

Als het gepresenteerde EGM-rapport beschikbaar is in de payload die is ontvangen van de PG, wordt het als PDF bij het bericht gevoegd, en wordt het gekoppeld aan de betreffende APMRT-episode met behulp van de groep-id (OBX-4) voor de APMRT-episode.

Gecombineerd follow-uprapport

Een gecombineerd follow-uprapport wordt als PDF aan het bericht toegevoegd.

Outdated version. Do not use.
Version überholt. Nicht verwenden.
Version obsoleté. Ne pas utiliser.
Versión obsoleta. No utilizar.
Versione obsoleta. Non utilizzare.
Verouderde versie. Niet gebruiken.
Föråldrad version. Använd ej.
Παλιά έκδοση. Μην την χρησιμοποιείτε.
Versão obsoleta. Não utilize.
Forældet version. Må ikke anvendes.
Zastaralá verze. Nepoužívat.
Utdatert versjon. Skal ikke brukes.
Zastaraná verzia. Nepoužívat.
Elavult verzió. Ne használja!
Wersja nieaktualna. Nie używać.

Voorbeeld van IDCO-bestand

Het volgende IDCO-voorbeeldbestand laat zien hoe een LATITUDE IDCO-bericht eruit kan zien. Dit is maar een voorbeeld van de vele mogelijke resultaten. De gegevens in het voorbeeldbericht zijn hypothetisch en niet alle IDCO-termen voor LATITUDE worden weergegeven.

```
MSH|^~\&|LATITUDE|BOSTON SCIENTIFIC||TestClinic|201305092136+0000||ORU^R01^ORU_R01
|0|P|2.6|||||UNICODE UTF-8|nl^Dutch||IHE_PCD_009^IHE PCD
^1.3.6.1.4.1.19376.1.6.1.9.1^ISO
PID|1||model:N119/serial:900141^^^BSX^U||testLastName^testName^^^^^I
~testAuxLName^testAuxFName^^^^^P||19680215|U
PV1|1|R
PV2|||||||||||||||||TestDeviceGroup^^1
OBR|1||1000000916|754054^MDC_IDC_ENUM_SESS_TYPE_RemotePatientInitiated
^MDC|||201001151330-0500|||||||||F
NTE|1||02 feb 2012 00:00 - Geel alarmsignaalsignaal - Atriale aritmiebelasting van ten minste 3,0 uur in een periode van 24 uur.
NTE|2||02 feb 2012 00:00 - Geel alarmsignaalsignaal - Atriale aritmiebelasting van ten minste 3,0 uur in een periode van 24 uur tussen 11 jan 2010 23:00 en 12 jan 2010 00:00.
NTE|3||02 feb 2012 00:00 - Geel alarmsignaalsignaal - Stimulatie met cardiale resynchronisatie therapie van < 1%. Stimulatie bedroeg 2% tussen 11 jan 2010 23:00 en 12 jan 2010 00:00.
NTE|4||02 feb 2012 00:00 - Geel alarmsignaalsignaal - Rechtsventriculaire stimulatie van > 1%. Stimulatie bedroeg 2% tussen 11 jan 2010 23:00 en 12 jan 2010 00:00.
NTE|5||02 feb 2012 00:00 - Geel alarmsignaalsignaal - Patiëntgetriggerd event opgeslagen. Bekijk het episodedetail in het aritmie logboek op het tabblad Events.
NTE|6||02 feb 2012 00:00 - Geel alarmsignaalsignaal - Gewichtstoename van tenminste 2,27 kg per week of tenminste 0,91 kg gemiddeld tijdens een periode van twee of meer dagen.
NTE|7||02 feb 2012 00:00 - Geel alarmsignaalsignaal - Gewichtsverlies van tenminste 2,27 kg per week of tenminste 0,91 kg gemiddeld tijdens een periode van twee of meer dagen.
NTE|8||02 feb 2012 00:00 - Geel alarmsignaalsignaal - Explantatie-indicator bereikt op 12 jan 2010 00:00. Plan vervanging van dit apparaat.
NTE|9||02 feb 2012 00:00 - Geel alarmsignaalsignaal - Voltage was te laag voor de geschatte restcapaciteit.
NTE|10||02 feb 2012 00:00 - Rood alarmsignaalsignaal - Monitoring van op afstand werd gedeactiveerd op 12 jan 2010 00:00 als gevolg van een beperkte batterijcapaciteit (Explantatie-indicator bereikt op 12 feb 2010 00:00).
NTE|11||02 feb 2012 00:00 - Geel alarmsignaalsignaal - Corruptie in therapiehistorie gedetecteerd. Eerder opgeslagen therapiehistoriegegevens zijn verwijderd.
NTE|12||02 feb 2012 00:00 - Rood alarmsignaalsignaal - Mogelijk apparaat defect (Foutcode 1011).
NTE|13||02 feb 2012 00:00 - Rood alarmsignaalsignaal - Mogelijk defect van het apparaat (foutcode 1007).
NTE|14||02 feb 2012 00:00 - Rood alarmsignaalsignaal - Mogelijk defect van het apparaat (foutcode 1009).
NTE|15||02 feb 2012 00:00 - Rood alarmsignaalsignaal - Apparaat in Veiligheidsmodus. Ter bescherming van de patiënt is het apparaat naar de veiligheidsmodus overgeschakeld.
NTE|16||02 feb 2012 00:00 - Geel alarmsignaalsignaal - Rechtsventriculaire automatische drempel gedetecteerd als > geprogrammeerde amplitude of opgeschort.
NTE|17||02 feb 2012 00:00 - Geel alarmsignaalsignaal - Atriale automatische drempel gedetecteerd als > geprogrammeerde amplitude of opgeschort.
NTE|18||02 feb 2012 00:00 - Rood alarmsignaalsignaal - Shocklead-impedantiemetingen buiten bereik.
NTE|19||02 feb 2012 00:00 - Rood alarmsignaalsignaal - Lage shock-lead impedantie gedetecteerd tijdens poging tot toedienen van een shock
NTE|20||02 feb 2012 00:00 - Rood alarmsignaalsignaal - Hoge shock-lead impedantie gedetecteerd tijdens poging tot toedienen van een shock
NTE|21||02 feb 2012 00:00 - Rood alarmsignaalsignaal - Hoog voltage gedetecteerd op shock-lead tijdens laden
NTE|22||02 feb 2012 00:00 - Rood alarmsignaalsignaal - Bescherming elektrocauterisatie is actief.
```

NTE|23||02 feb 2012 00:00 - Geel alarmsignaalsignaal - VT-episode plaatsgevonden (V>A).
 NTE|24||02 feb 2012 00:00 - Geel alarmsignaalsignaal - Bradymodus van apparaat is uit.
 Er wordt geen bradytherapie afgegeven.
 NTE|25||02 feb 2012 00:00 - Geel alarmsignaalsignaal - Linksventriculaire
 stimulatielead-impedantie buiten bereik.
 NTE|26||02 feb 2012 00:00 - Geel alarmsignaalsignaal - Atriale stimulatielead-impedantie
 buiten bereik.
 NTE|27||02 feb 2012 00:00 - Geel alarmsignaalsignaal - Rechtsventriculaire intrinsieke
 amplitude buiten bereik.
 NTE|28||02 feb 2012 00:00 - Geel alarmsignaalsignaal - Intrinsieke amplitude
 buiten bereik.
 NTE|29||02 feb 2012 00:00 - Geel alarmsignaalsignaal - Linksventriculaire intrinsieke
 amplitude buiten bereik.
 NTE|30||02 feb 2012 00:00 - Geel alarmsignaalsignaal - Atriale intrinsieke amplitude
 buiten bereik.
 NTE|31||02 feb 2012 00:00 - Rood alarmsignaalsignaal - Rechtsventriculaire
 stimulatielead-impedantie buiten bereik.
 NTE|32||02 feb 2012 00:00 - Rood alarmsignaalsignaal - Stimulatielead-impedantie
 buiten bereik.
 NTE|33||02 feb 2012 00:00 - Geel alarmsignaalsignaal - Ventriculaire shocktherapie
 afgegeven voor het converteren van aritmie.
 NTE|34||02 feb 2012 00:00 - Geel alarmsignaalsignaal - Versnelde ventriculaire
 aritmie-episode.
 NTE|35||02 feb 2012 00:00 - Rood alarmsignaalsignaal - V-tachymode is ingesteld op
 andere waarde dan Monitor + Therapie
 NTE|36||02 feb 2012 00:00 - Rood alarmsignaalsignaal - Kennisgeving van leadcontrole
 vanwege abrupte verandering van rechtsventriculaire stimulatielead-impedantie in de
 laatste 7 dagen.
 NTE|37||02 feb 2012 00:00 - Rood alarmsignaalsignaal - Kennisgeving van leadcontrole
 vanwege episode met mogelijk rechtsventriculair niet-fysiologisch signaal.
 NTE|38||02 feb 2012 00:00 - Geel alarmsignaalsignaal - Automatische drempel van het
 linkerventrikel gedetecteerd als > dan geprogrammeerde amplitude, of uitgesteld.
 OBX|1|ST|739536^MDC_IDC_EPISODE_ID^MDC|1|MRI-16|||||F
 OBX|2|DTM|739552^MDC_IDC_EPISODE_DTM^MDC|1|200101020304|||||F
 OBX|3|CWE|739568^MDC_IDC_EPISODE_TYPE^MDC|1|754888
 ^MDC_IDC_ENUM_EPISODE_TYPE_Epis_Other^MDC|||||F
 OBX|4|CWE|739600^MDC_IDC_EPISODE_VENDOR_TYPE^MDC|1||||||F
 OBX|5|NM|739712^MDC_IDC_EPISODE_DURATION^MDC|1|100|s|||||F
 OBX|6|ST|739680^MDC_IDC_EPISODE_DETECTION_THERAPY_DETAILS
 ^MDC|1|MRI_Beschermingsmodus|||||F
 OBX|7|ST|739536^MDC_IDC_EPISODE_ID^MDC|2|LVAT-15|||||F
 OBX|8|DTM|739552^MDC_IDC_EPISODE_DTM^MDC|2|200101020304|||||F
 OBX|9|CWE|739568^MDC_IDC_EPISODE_TYPE^MDC|2|754888
 ^MDC_IDC_ENUM_EPISODE_TYPE_Epis_Other^MDC|||||F
 OBX|10|CWE|739600^MDC_IDC_EPISODE_VENDOR_TYPE^MDC|2||||||F
 OBX|11|NM|739712^MDC_IDC_EPISODE_DURATION^MDC|2|100|s|||||F
 OBX|12|ST|739680^MDC_IDC_EPISODE_DETECTION_THERAPY_DETAILS^MDC|2|LV_Auto|||||F
 OBX|13|ST|739536^MDC_IDC_EPISODE_ID^MDC|3|RVAT-14|||||F
 OBX|14|DTM|739552^MDC_IDC_EPISODE_DTM^MDC|3|200101020304|||||F
 OBX|15|CWE|739568^MDC_IDC_EPISODE_TYPE^MDC|3|754888
 ^MDC_IDC_ENUM_EPISODE_TYPE_Epis_Other^MDC|||||F
 OBX|16|CWE|739600^MDC_IDC_EPISODE_VENDOR_TYPE^MDC|3||||||F
 OBX|17|NM|739712^MDC_IDC_EPISODE_DURATION^MDC|3|100|s|||||F
 OBX|18|ST|739680^MDC_IDC_EPISODE_DETECTION_THERAPY_DETAILS^MDC|3|RV_Auto|||||F
 OBX|19|ST|739536^MDC_IDC_EPISODE_ID^MDC|4|APM-13|||||F
 OBX|20|DTM|739552^MDC_IDC_EPISODE_DTM^MDC|4|200101020304|||||F
 OBX|21|CWE|739568^MDC_IDC_EPISODE_TYPE^MDC|4|754886
 ^MDC_IDC_ENUM_EPISODE_TYPE_Epis_PeriodicEGM^MDC|||||F
 OBX|22|CWE|739600^MDC_IDC_EPISODE_VENDOR_TYPE^MDC|4|771085
 ^MDC_IDC_ENUM_EPISODE_VENDOR_TYPE_BSX-Epis_APMRT^MDC|||||F
 OBX|23|ST|739680^MDC_IDC_EPISODE_DETECTION_THERAPY_DETAILS
 ^MDC|4|EGM_gepresenteerd|||||F
 OBX|24|ST|739536^MDC_IDC_EPISODE_ID^MDC|5|PTM-12|||||F
 OBX|25|DTM|739552^MDC_IDC_EPISODE_DTM^MDC|5|200101020304|||||F

OBX|26|CWE|739568^MDC_IDC_EPISODE_TYPE^MDC|5|754887
 ^MDC_IDC_ENUM_EPISODE_TYPE_Epis_PatientActivated^MDC|||||F
 OBX|27|CWE|739600^MDC_IDC_EPISODE_VENDOR_TYPE^MDC|5|771080
 ^MDC_IDC_ENUM_EPISODE_VENDOR_TYPE_BSX-Epis_PTM^MDC|||||F
 OBX|28|NM|739648^MDC_IDC_EPISODE_VENTRICULAR_INTERVAL_AT_DETECTION
 ^MDC|5|30000|ms|||||F
 OBX|29|NM|739712^MDC_IDC_EPISODE_DURATION^MDC|5|100|s|||||F
 OBX|30|ST|739680^MDC_IDC_EPISODE_DETECTION_THERAPY_DETAILS^MDC|5|PMT|||||F
 OBX|31|ST|739536^MDC_IDC_EPISODE_ID^MDC|6|RAAT-11|||||F
 OBX|32|DTM|739552^MDC_IDC_EPISODE_DTM^MDC|6|200101020304|||||F
 OBX|33|CWE|739568^MDC_IDC_EPISODE_TYPE^MDC|6|754888
 ^MDC_IDC_ENUM_EPISODE_TYPE_Epis_Other^MDC|||||F
 OBX|34|CWE|739600^MDC_IDC_EPISODE_VENDOR_TYPE^MDC|6|||||F
 OBX|35|NM|739712^MDC_IDC_EPISODE_DURATION^MDC|6|100|s|||||F
 OBX|36|ST|739680^MDC_IDC_EPISODE_DETECTION_THERAPY_DETAILS^MDC|6|RA Auto|||||F
 OBX|37|ST|739536^MDC_IDC_EPISODE_ID^MDC|7|RYTHMIQ-10|||||F
 OBX|38|DTM|739552^MDC_IDC_EPISODE_DTM^MDC|7|200101020304|||||F
 OBX|39|CWE|739568^MDC_IDC_EPISODE_TYPE^MDC|7|754888
 ^MDC_IDC_ENUM_EPISODE_TYPE_Epis_Other^MDC|||||F
 OBX|40|CWE|739600^MDC_IDC_EPISODE_VENDOR_TYPE^MDC|7|771084
 ^MDC_IDC_ENUM_EPISODE_VENDOR_TYPE_BSX-Epis_RMS^MDC|||||F
 OBX|41|NM|739648
 ^MDC_IDC_EPISODE_VENTRICULAR_INTERVAL_AT_DETECTION^MDC|7|30000|ms|||||F
 OBX|42|NM|739712^MDC_IDC_EPISODE_DURATION^MDC|7|100|s|||||F
 OBX|43|ST|739680^MDC_IDC_EPISODE_DETECTION_THERAPY_DETAILS^MDC|7|RYTHMIQ|||||F
 OBX|44|ST|739536^MDC_IDC_EPISODE_ID^MDC|8|RMS-9|||||F
 OBX|45|DTM|739552^MDC_IDC_EPISODE_DTM^MDC|8|200101020304|||||F
 OBX|46|CWE|739568^MDC_IDC_EPISODE_TYPE^MDC|8|754888
 ^MDC_IDC_ENUM_EPISODE_TYPE_Epis_Other^MDC|||||F
 OBX|47|CWE|739600^MDC_IDC_EPISODE_VENDOR_TYPE^MDC|8|771084
 ^MDC_IDC_ENUM_EPISODE_VENDOR_TYPE_BSX-Epis_RMS^MDC|||||F
 OBX|48|NM|739648
 ^MDC_IDC_EPISODE_VENTRICULAR_INTERVAL_AT_DETECTION^MDC|8|30000|ms|||||F
 OBX|49|NM|739712^MDC_IDC_EPISODE_DURATION^MDC|8|100|s|||||F
 OBX|50|ST|739680^MDC_IDC_EPISODE_DETECTION_THERAPY_DETAILS^MDC|8|RMS|||||F
 OBX|51|ST|739536^MDC_IDC_EPISODE_ID^MDC|9|V-8|||||F
 OBX|52|DTM|739552^MDC_IDC_EPISODE_DTM^MDC|9|200101020304|||||F
 OBX|53|CWE|739568^MDC_IDC_EPISODE_TYPE^MDC|9|754881
 ^MDC_IDC_ENUM_EPISODE_TYPE_Epis_VF^MDC|||||F
 OBX|54|CWE|739600^MDC_IDC_EPISODE_VENDOR_TYPE^MDC|9|771073
 ^MDC_IDC_ENUM_EPISODE_VENDOR_TYPE_BSX-Epis_VF^MDC|||||F
 OBX|55|CWE|739584^MDC_IDC_EPISODE_TYPE_INDUCED^MDC|9|755329
 ^MDC_IDC_ENUM_EPISODE_TYPE_INDUCED_YES^MDC|||||F
 OBX|56|NM|739648
 ^MDC_IDC_EPISODE_VENTRICULAR_INTERVAL_AT_DETECTION^MDC|9|30000|ms|||||F
 OBX|57|NM|739712^MDC_IDC_EPISODE_DURATION^MDC|9|100|s|||||F
 OBX|58|ST|739680
 ^MDC_IDC_EPISODE_DETECTION_THERAPY_DETAILS^MDC|9|VF ATPx1, 0, 1J, 0, 2J, 31Jx2|||||F
 OBX|59|ST|739536^MDC_IDC_EPISODE_ID^MDC|10|PMT-7|||||F
 OBX|60|DTM|739552^MDC_IDC_EPISODE_DTM^MDC|10|200101020304|||||F
 OBX|61|CWE|739568^MDC_IDC_EPISODE_TYPE^MDC|10|754888
 ^MDC_IDC_ENUM_EPISODE_TYPE_Epis_Other^MDC|||||F
 OBX|62|CWE|739600^MDC_IDC_EPISODE_VENDOR_TYPE^MDC|10|771079
 ^MDC_IDC_ENUM_EPISODE_VENDOR_TYPE_BSX-Epis_PMT^MDC|||||F
 OBX|63|NM|739648^MDC_IDC_EPISODE_VENTRICULAR_INTERVAL_AT_DETECTION
 ^MDC|10|30000|ms|||||F
 OBX|64|NM|739712^MDC_IDC_EPISODE_DURATION^MDC|10|100|s|||||F
 OBX|65|ST|739680^MDC_IDC_EPISODE_DETECTION_THERAPY_DETAILS^MDC|10|PMT|||||F
 OBX|66|ST|739536^MDC_IDC_EPISODE_ID^MDC|11|V-6|||||F
 OBX|67|DTM|739552^MDC_IDC_EPISODE_DTM^MDC|11|200101020304|||||F
 OBX|68|CWE|739568^MDC_IDC_EPISODE_TYPE^MDC|11|754882
 ^MDC_IDC_ENUM_EPISODE_TYPE_Epis_VT^MDC|||||F
 OBX|69|CWE|739600^MDC_IDC_EPISODE_VENDOR_TYPE^MDC|11|771075
 ^MDC_IDC_ENUM_EPISODE_VENDOR_TYPE_BSX-Epis_VT-1^MDC|||||F

OBX|70|CWE|739584^MDC_IDC_EPISODE_TYPE_INDUCED^MDC|11|755329
 ^MDC_IDC_ENUM_EPISODE_TYPE_INDUCED_YES^MDC|||||F
 OBX|71|NM|739648^MDC_IDC_EPISODE_VENTRICULAR_INTERVAL_AT_DETECTION
 ^MDC|11|30000|ms|||||F
 OBX|72|NM|739712^MDC_IDC_EPISODE_DURATION^MDC|11|100|s|||||F
 OBX|73|ST|739680^MDC_IDC_EPISODE_DETECTION_THERAPY_DETAILS
 ^MDC|11|VT-1 ATPx1, 0,1J, 0,2J, 31Jx2|||||F
 OBX|74|ST|739536^MDC_IDC_EPISODE_ID^MDC|12|ATR-5|||||F
 OBX|75|DTM|739552^MDC_IDC_EPISODE_DTM^MDC|12|200101020304|||||F
 OBX|76|CWE|739568^MDC_IDC_EPISODE_TYPE^MDC|12|754883
 ^MDC_IDC_ENUM_EPISODE_TYPE_Epis_ATAF^MDC|||||F
 OBX|77|CWE|739600^MDC_IDC_EPISODE_VENDOR_TYPE^MDC|12|771078
 ^MDC_IDC_ENUM_EPISODE_VENDOR_TYPE_BSX-Epis_ATR^MDC|||||F
 OBX|78|NM|739616^MDC_IDC_EPISODE_ATRIAL_INTERVAL_AT_DETECTION^MDC|12|20000|ms||||F
 OBX|79|NM|739712^MDC_IDC_EPISODE_DURATION^MDC|12|100|s||||F
 OBX|80|ST|739680^MDC_IDC_EPISODE_DETECTION_THERAPY_DETAILS^MDC|12|ATR|||||F
 OBX|81|ST|739536^MDC_IDC_EPISODE_ID^MDC|13|V-4|||||F
 OBX|82|DTM|739552^MDC_IDC_EPISODE_DTM^MDC|13|200101020304|||||F
 OBX|83|CWE|739568^MDC_IDC_EPISODE_TYPE^MDC|13|754882
 ^MDC_IDC_ENUM_EPISODE_TYPE_Epis_VT^MDC|||||F
 OBX|84|CWE|739600^MDC_IDC_EPISODE_VENDOR_TYPE^MDC|13|771077
 ^MDC_IDC_ENUM_EPISODE_VENDOR_TYPE_BSX-Epis_NSVT^MDC|||||F
 OBX|85|CWE|739584^MDC_IDC_EPISODE_TYPE_INDUCED^MDC|13|755329
 ^MDC_IDC_ENUM_EPISODE_TYPE_INDUCED_YES^MDC|||||F
 OBX|86|NM|739648^MDC_IDC_EPISODE_VENTRICULAR_INTERVAL_AT_DETECTION
 ^MDC|13|30000|ms||||F
 OBX|87|NM|739712^MDC_IDC_EPISODE_DURATION^MDC|13|100|s||||F
 OBX|88|ST|739680^MDC_IDC_EPISODE_DETECTION_THERAPY_DETAILS^MDC|13|NietAanhV|||||F
 OBX|89|ST|739536^MDC_IDC_EPISODE_ID^MDC|14|V-3||||F
 OBX|90|DTM|739552^MDC_IDC_EPISODE_DTM^MDC|14|200101020304|||||F
 OBX|91|CWE|739568^MDC_IDC_EPISODE_TYPE^MDC|14|754882
 ^MDC_IDC_ENUM_EPISODE_TYPE_Epis_VT^MDC|||||F
 OBX|92|CWE|739600^MDC_IDC_EPISODE_VENDOR_TYPE^MDC|14|771074
 ^MDC_IDC_ENUM_EPISODE_VENDOR_TYPE_BSX-Epis_VT^MDC|||||F
 OBX|93|CWE|739584^MDC_IDC_EPISODE_TYPE_INDUCED^MDC|14|755329
 ^MDC_IDC_ENUM_EPISODE_TYPE_INDUCED_YES^MDC|||||F
 OBX|94|NM|739648^MDC_IDC_EPISODE_VENTRICULAR_INTERVAL_AT_DETECTION
 ^MDC|14|30000|ms||||F
 OBX|95|NM|739712^MDC_IDC_EPISODE_DURATION^MDC|14|100|s||||F
 OBX|96|ST|739680^MDC_IDC_EPISODE_DETECTION_THERAPY_DETAILS
 ^MDC|14|VT ATPx1, 0,1J, 0,2J, 31Jx2||||F
 OBX|97|ST|739536^MDC_IDC_EPISODE_ID^MDC|15|PBR-2|||||F
 OBX|98|DTM|739552^MDC_IDC_EPISODE_DTM^MDC|15|200101020304|||||F
 OBX|99|CWE|739568^MDC_IDC_EPISODE_TYPE^MDC|15|754888
 ^MDC_IDC_ENUM_EPISODE_TYPE_Epis_Other^MDC|||||F
 OBX|100|CWE|739600^MDC_IDC_EPISODE_VENDOR_TYPE^MDC|15||||||F
 OBX|101|NM|739616^MDC_IDC_EPISODE_ATRIAL_INTERVAL_AT_DETECTION
 ^MDC|15|20000|ms||||F
 OBX|102|NM|739712^MDC_IDC_EPISODE_DURATION^MDC|15|100|s||||F
 OBX|103|ST|739680^MDC_IDC_EPISODE_DETECTION_THERAPY_DETAILS^MDC|15|PBR|||||F
 OBX|104|ST|739536^MDC_IDC_EPISODE_ID^MDC|16|V-1||||F
 OBX|105|DTM|739552^MDC_IDC_EPISODE_DTM^MDC|16|200101020304|||||F
 OBX|106|CWE|739568^MDC_IDC_EPISODE_TYPE^MDC|16|754888
 ^MDC_IDC_ENUM_EPISODE_TYPE_Epis_Other^MDC|||||F
 OBX|107|CWE|739600^MDC_IDC_EPISODE_VENDOR_TYPE^MDC|16||||||F
 OBX|108|CWE|739584^MDC_IDC_EPISODE_TYPE_INDUCED^MDC|16|755329
 ^MDC_IDC_ENUM_EPISODE_TYPE_INDUCED_YES^MDC|||||F
 OBX|109|NM|739648^MDC_IDC_EPISODE_VENTRICULAR_INTERVAL_AT_DETECTION
 ^MDC|16|30000|ms||||F
 OBX|110|NM|739712^MDC_IDC_EPISODE_DURATION^MDC|16|100|s||||F
 OBX|111|ST|739680^MDC_IDC_EPISODE_DETECTION_THERAPY_DETAILS
 ^MDC|16|Cmnd V Therapie afgegeven|||||F
 OBX|112|ED|18750-0^Cardiac Electrophysiology Report^LN||Application^PDF^
 ^Base64^{encoded PDF included here}|||||F|||201001151330-0500

OBX|113|ED|18750-0^Cardiac Electrophysiology Report^LN|4|Application^PDF^
 ^Base64^{encoded PDF included here}|||||F|||201001151330-0500
OBX|114|CWE|720897^MDC_IDC_DEV_TYPE^MDC||753665^MDC_IDC_ENUM_DEV_TYPE_IPG^MDC|||||F
OBX|115|ST|720898^MDC_IDC_DEV_MODEL^MDC||N119|||||F
OBX|116|ST|720899^MDC_IDC_DEV_SERIAL^MDC||900141|||||F
OBX|117|CWE|720900^MDC_IDC_DEV_MFG^MDC||753732^MDC_IDC_ENUM_MFG_BSX^MDC|||||F
OBX|118|DTM|720901^MDC_IDC_DEV_IMPLANT_DT^MDC||20120513|||||F
OBX|119|ST|720961^MDC_IDC_LEAD_MODEL^MDC|1|12345|||||F
OBX|120|ST|720962^MDC_IDC_LEAD_SERIAL^MDC|1|6789|||||F
OBX|121|CWE|720963^MDC_IDC_LEAD_MFG^MDC|1|753731^MDC_IDC_ENUM_MFG_BIO^MDC|||||F
OBX|122|CWE|720965^MDC_IDC_LEAD_POLARITY_TYPE^MDC|1|753793
 ^MDC_IDC_ENUM_LEAD_POLARITY_TYPE_UNI^MDC|||||F
OBX|123|DTM|720964^MDC_IDC_LEAD_IMPLANT_DT^MDC|1|201205|||||F
OBX|124|CWE|720966^MDC_IDC_LEAD_LOCATION^MDC|1|753858
 ^MDC_IDC_ENUM_LEAD_LOCATION_CHAMBER_LV^MDC|||||F
OBX|125|CWE|720967^MDC_IDC_LEAD_LOCATION_DETAIL_1^MDC|1|753922
 ^MDC_IDC_ENUM_LEAD_LOCATION_DETAIL_Apex^MDC|||||F
OBX|126|CWE|720968^MDC_IDC_LEAD_LOCATION_DETAIL_2^MDC|1|753925
 ^MDC_IDC_ENUM_LEAD_LOCATION_DETAIL_VenaCava^MDC|||||F
OBX|127|ST|720961^MDC_IDC_LEAD_MODEL^MDC|2|12345|||||F
OBX|128|ST|720962^MDC_IDC_LEAD_SERIAL^MDC|2|6789|||||F
OBX|129|CWE|720963^MDC_IDC_LEAD_MFG^MDC|2|753731^MDC_IDC_ENUM_MFG_BIO^MDC|||||F
OBX|130|CWE|720965^MDC_IDC_LEAD_POLARITY_TYPE^MDC|2|753793
 ^MDC_IDC_ENUM_LEAD_POLARITY_TYPE_UNI^MDC|||||F
OBX|131|DTM|720964^MDC_IDC_LEAD_IMPLANT_DT^MDC|2|201205|||||F
OBX|132|CWE|720966^MDC_IDC_LEAD_LOCATION^MDC|2|753858
 ^MDC_IDC_ENUM_LEAD_LOCATION_CHAMBER_LV^MDC|||||F
OBX|133|CWE|720967^MDC_IDC_LEAD_LOCATION_DETAIL_1^MDC|2|753922
 ^MDC_IDC_ENUM_LEAD_LOCATION_DETAIL_Apex^MDC|||||F
OBX|134|CWE|720968^MDC_IDC_LEAD_LOCATION_DETAIL_2^MDC|2|753925
 ^MDC_IDC_ENUM_LEAD_LOCATION_DETAIL_VenaCava^MDC|||||F
OBX|135|ST|720961^MDC_IDC_LEAD_MODEL^MDC|3|12345|||||F
OBX|136|ST|720962^MDC_IDC_LEAD_SERIAL^MDC|3|6789|||||F
OBX|137|CWE|720963^MDC_IDC_LEAD_MFG^MDC|3|753731^MDC_IDC_ENUM_MFG_BIO^MDC|||||F
OBX|138|CWE|720965^MDC_IDC_LEAD_POLARITY_TYPE^MDC|3|753793
 ^MDC_IDC_ENUM_LEAD_POLARITY_TYPE_UNI^MDC|||||F
OBX|139|DTM|720964^MDC_IDC_LEAD_IMPLANT_DT^MDC|3|201205|||||F
OBX|140|CWE|720966^MDC_IDC_LEAD_LOCATION^MDC|3|753858
 ^MDC_IDC_ENUM_LEAD_LOCATION_CHAMBER_LV^MDC|||||F
OBX|141|CWE|720967^MDC_IDC_LEAD_LOCATION_DETAIL_1^MDC|3|753922
 ^MDC_IDC_ENUM_LEAD_LOCATION_DETAIL_Apex^MDC|||||F
OBX|142|CWE|720968^MDC_IDC_LEAD_LOCATION_DETAIL_2^MDC|3|753925
 ^MDC_IDC_ENUM_LEAD_LOCATION_DETAIL_VenaCava^MDC|||||F
OBX|143|ST|720961^MDC_IDC_LEAD_MODEL^MDC|4|12345|||||F
OBX|144|ST|720962^MDC_IDC_LEAD_SERIAL^MDC|4|6789|||||F
OBX|145|CWE|720963^MDC_IDC_LEAD_MFG^MDC|4|753731^MDC_IDC_ENUM_MFG_BIO^MDC|||||F
OBX|146|CWE|720965^MDC_IDC_LEAD_POLARITY_TYPE^MDC|4|753793
 ^MDC_IDC_ENUM_LEAD_POLARITY_TYPE_UNI^MDC|||||F
OBX|147|DTM|720964^MDC_IDC_LEAD_IMPLANT_DT^MDC|4|201205|||||F
OBX|148|CWE|720966^MDC_IDC_LEAD_LOCATION^MDC|4|753858
 ^MDC_IDC_ENUM_LEAD_LOCATION_CHAMBER_LV^MDC|||||F
OBX|149|CWE|720967^MDC_IDC_LEAD_LOCATION_DETAIL_1^MDC|4|753922
 ^MDC_IDC_ENUM_LEAD_LOCATION_DETAIL_Apex^MDC|||||F
OBX|150|CWE|720968^MDC_IDC_LEAD_LOCATION_DETAIL_2^MDC|4|753925
 ^MDC_IDC_ENUM_LEAD_LOCATION_DETAIL_VenaCava^MDC|||||F
OBX|151|ST|720961^MDC_IDC_LEAD_MODEL^MDC|5|12345|||||F
OBX|152|ST|720962^MDC_IDC_LEAD_SERIAL^MDC|5|6789|||||F
OBX|153|CWE|720963^MDC_IDC_LEAD_MFG^MDC|5|753731^MDC_IDC_ENUM_MFG_BIO^MDC|||||F
OBX|154|CWE|720965^MDC_IDC_LEAD_POLARITY_TYPE^MDC|5|753793
 ^MDC_IDC_ENUM_LEAD_POLARITY_TYPE_UNI^MDC|||||F
OBX|155|DTM|720964^MDC_IDC_LEAD_IMPLANT_DT^MDC|5|201205|||||F
OBX|156|CWE|720966^MDC_IDC_LEAD_LOCATION^MDC|5|753858
 ^MDC_IDC_ENUM_LEAD_LOCATION_CHAMBER_LV^MDC|||||F
OBX|157|CWE|720967^MDC_IDC_LEAD_LOCATION_DETAIL_1^MDC|5|753922
 ^MDC_IDC_ENUM_LEAD_LOCATION_DETAIL_Apex^MDC|||||F

OBX|158|CWE|720968^MDC_IDC_LEAD_LOCATION_DETAIL_2^MDC|5|753925
 ^MDC_IDC_ENUM_LEAD_LOCATION_DETAIL_VenaCava^MDC|||||F
 OBX|159|ST|720961^MDC_IDC_LEAD_MODEL^MDC|6|12345|||||F
 OBX|160|ST|720962^MDC_IDC_LEAD_SERIAL^MDC|6|6789|||||F
 OBX|161|CWE|720963^MDC_IDC_LEAD_MFG^MDC|6|753731^MDC_IDC_ENUM_MFG_BIO^MDC|||||F
 OBX|162|CWE|720965^MDC_IDC_LEAD_POLARITY_TYPE^MDC|6|753793
 ^MDC_IDC_ENUM_LEAD_POLARITY_TYPE_UNI^MDC|||||F
 OBX|163|DTM|720964^MDC_IDC_LEAD_IMPLANT_DT^MDC|6|201205|||||F
 OBX|164|CWE|720966^MDC_IDC_LEAD_LOCATION^MDC|6|753858
 ^MDC_IDC_ENUM_LEAD_LOCATION_CHAMBER_LV^MDC|||||F
 OBX|165|CWE|720967^MDC_IDC_LEAD_LOCATION_DETAIL_1^MDC|6|753922
 ^MDC_IDC_ENUM_LEAD_LOCATION_DETAIL_Apex^MDC|||||F
 OBX|166|CWE|720968^MDC_IDC_LEAD_LOCATION_DETAIL_2^MDC|6|753925
 ^MDC_IDC_ENUM_LEAD_LOCATION_DETAIL_VenaCava^MDC|||||F
 OBX|167|DTM|721025^MDC_IDC_SESS_DTM^MDC||201001021310-0600|||||F
 OBX|168|CWE|721026^MDC_IDC_SESS_TYPE^MDC||754052
 ^MDC_IDC_ENUM_SESS_TYPE_RemoteDeviceInitiated^MDC|||||F
 OBX|169|ST|721033^MDC_IDC_SESS_CLINIC_NAME
 ^MDC||abcdefghijklmnoprstuvwxyzabcdefghijklmnoprstuvwxyz|||||F
 OBX|170|DTM|721216^MDC_IDC_MSMT_BATTERY_DTM^MDC||201205221755+0000|||||F
 OBX|171|CWE|721280^MDC_IDC_MSMT_BATTERY_STATUS^MDC||754113
 ^MDC_IDC_ENUM_BATTERY_STATUS_BOS^MDC|||||F
 OBX|172|NM|721472^MDC_IDC_MSMT_BATTERY_REMAINING_LONGEVITY^MDC||132|mo||>|||F
 OBX|173|NM|721536^MDC_IDC_MSMT_BATTERY_REMAINING_PERCENTAGE^MDC||100|%|||F
 OBX|174|DTM|721664^MDC_IDC_MSMT_CAP_CHARGE_DTM^MDC||201205221755|||||F
 OBX|175|NM|721728^MDC_IDC_MSMT_CAP_CHARGE_TIME^MDC||3.0|s|||||F
 OBX|176|CWE|721856^MDC_IDC_MSMT_CAP_CHARGE_TYPE^MDC||754178
 ^MDC_IDC_ENUM_CHARGE_TYPE_Reformation^MDC|||||F
 OBX|177|DTM|721921^MDC_IDC_MSMT_LEADCHNL_RA_DTM_START^MDC||20121211|||||F
 OBX|178|DTM|721922^MDC_IDC_MSMT_LEADCHNL_RA_DTM_END^MDC||20121211|||||F
 OBX|179|CWE|721984^MDC_IDC_MSMT_LEADCHNL_RA_LEAD_CHANNEL_STATUS^MDC||754241
 ^MDC_IDC_ENUM_CHANNEL_STATUS_CheckLead^MDC|||||F
 OBX|180|NM|722051
 ^MDC_IDC_MSMT_LEADCHNL_RA_SENSING_INTR_AMPL_MEAN^MDC||mV||NAV|||F|||20121211
 OBX|181|DTM|721925^MDC_IDC_MSMT_LEADCHNL_RV_DTM_START^MDC||19990102|||||F
 OBX|182|DTM|721926^MDC_IDC_MSMT_LEADCHNL_RV_DTM_END^MDC||20121211|||||F
 OBX|183|CWE|721985^MDC_IDC_MSMT_LEADCHNL_RV_LEAD_CHANNEL_STATUS^MDC||754241
 ^MDC_IDC_ENUM_CHANNEL_STATUS_CheckLead^MDC|||||F
 OBX|184|NM|722055
 ^MDC_IDC_MSMT_LEADCHNL_RV_SENSING_INTR_AMPL_MEAN^MDC||0.1|mV||<|||F|||20121211
 OBX|185|DTM|721933^MDC_IDC_MSMT_LEADCHNL_LV_DTM_START^MDC||19990102|||||F
 OBX|186|DTM|721934^MDC_IDC_MSMT_LEADCHNL_LV_DTM_END^MDC||20121211|||||F
 OBX|187|CWE|721987^MDC_IDC_MSMT_LEADCHNL_LV_LEAD_CHANNEL_STATUS^MDC||754241
 ^MDC_IDC_ENUM_CHANNEL_STATUS_CheckLead^MDC|||||F
 OBX|188|NM|722063^MDC_IDC_MSMT_LEADCHNL_LV_SENSING_INTR_AMPL_MEAN
 ^MDC||25.0|mV||>|||F|||20121211
 OBX|189|CWE|722112^MDC_IDC_MSMT_LEADCHNL_RA_SENSING_POLARITY^MDC||754305
 ^MDC_IDC_ENUM_POLARITY_UNI^MDC|||||F
 OBX|190|CWE|722113^MDC_IDC_MSMT_LEADCHNL_RV_SENSING_POLARITY^MDC||754306
 ^MDC_IDC_ENUM_POLARITY_BI^MDC|||||F
 OBX|191|CWE|722115^MDC_IDC_MSMT_LEADCHNL_LV_SENSING_POLARITY^MDC|||OFF|||F
 OBX|192|NM|722176^MDC_IDC_MSMT_LEADCHNL_RA_PACING_THRESHOLD_AMPLITUDE
 ^MDC||V||NAV|||F|||20121211
 OBX|193|NM|722177^MDC_IDC_MSMT_LEADCHNL_RV_PACING_THRESHOLD_AMPLITUDE
 ^MDC||3.0|V||>|||F|||20121211
 OBX|194|NM|722179^MDC_IDC_MSMT_LEADCHNL_LV_PACING_THRESHOLD_AMPLITUDE
 ^MDC||0.0|V|||||F|||20121210
 OBX|195|NM|722240^MDC_IDC_MSMT_LEADCHNL_RA_PACING_THRESHOLD_PULSEWIDTH
 ^MDC||ms||NAV|||F|||19990102
 OBX|196|NM|722241^MDC_IDC_MSMT_LEADCHNL_RV_PACING_THRESHOLD_PULSEWIDTH
 ^MDC||0.4|ms|||||F|||19990102
 OBX|197|NM|722243^MDC_IDC_MSMT_LEADCHNL_LV_PACING_THRESHOLD_PULSEWIDTH
 ^MDC||0.4|ms|||||F|||19990102
 OBX|198|CWE|722304^MDC_IDC_MSMT_LEADCHNL_RA_PACING_THRESHOLD_MEASUREMENT_METHOD
 ^MDC||754369^MDC_IDC_ENUM_MEASUREMENT_METHOD_ProgrammerManual^MDC|||||F

OBX|199|CWE|722305^MDC_IDC_MSMT_LEADCHNL_RV_PACING_THRESHOLD_MEASUREMENT_METHOD
 ^MDC||754369^MDC_IDC_ENUM_MEASUREMENT_METHOD_ProgrammerManual^MDC|||||F
 OBX|200|CWE|722307^MDC_IDC_MSMT_LEADCHNL_LV_PACING_THRESHOLD_MEASUREMENT_METHOD
 ^MDC||754369^MDC_IDC_ENUM_MEASUREMENT_METHOD_ProgrammerManual^MDC|||||F
 OBX|201|CWE|722368^MDC_IDC_MSMT_LEADCHNL_RA_PACING_THRESHOLD_POLARITY^MDC||754305
 ^MDC_IDC_ENUM_POLARITY_UNI^MDC|||||F
 OBX|202|CWE|722369^MDC_IDC_MSMT_LEADCHNL_RV_PACING_THRESHOLD_POLARITY^MDC||754306
 ^MDC_IDC_ENUM_POLARITY_BI^MDC|||||F
 OBX|203|CWE|722371^MDC_IDC_MSMT_LEADCHNL_LV_PACING_THRESHOLD_POLARITY^MDC||754306
 ^MDC_IDC_ENUM_POLARITY_BI^MDC|||||F
 OBX|204|NM|722432^MDC_IDC_MSMT_LEADCHNL_RA_IMPEDANCE_VALUE
 ^MDC||200|ohms||<|||F|||20121211
 OBX|205|NM|722433^MDC_IDC_MSMT_LEADCHNL_RV_IMPEDANCE_VALUE
 ^MDC||2000|ohms||>|||F|||20121211
 OBX|206|NM|722435^MDC_IDC_MSMT_LEADCHNL_LV_IMPEDANCE_VALUE
 ^MDC||201|ohms|||||F|||20121209
 OBX|207|CWE|722496^MDC_IDC_MSMT_LEADCHNL_RA_IMPEDANCE_POLARITY^MDC||754305
 ^MDC_IDC_ENUM_POLARITY_UNI^MDC|||||F
 OBX|208|CWE|722497^MDC_IDC_MSMT_LEADCHNL_RV_IMPEDANCE_POLARITY^MDC||754305
 ^MDC_IDC_ENUM_POLARITY_UNI^MDC|||||F
 OBX|209|CWE|722499^MDC_IDC_MSMT_LEADCHNL_LV_IMPEDANCE_POLARITY^MDC||754306
 ^MDC_IDC_ENUM_POLARITY_BI^MDC|||||F
 OBX|210|DTM|722560^MDC_IDC_MSMT_LEADHVCHNL_DTM_START^MDC|1|20121109|||||F
 OBX|211|NM|722624^MDC_IDC_MSMT_LEADHVCHNL_IMPEDANCE^MDC|1|ohms||NAV|||F
 OBX|212|CWE|722688^MDC_IDC_MSMT_LEADHVCHNL_MEASUREMENT_TYPE^MDC|1|754433
 ^MDC_IDC_ENUM_HVCHNL_MEASUREMENT_TYPE_LowVoltage^MDC|||||F
 OBX|213|CWE|722752^MDC_IDC_MSMT_LEADHVCHNL_STATUS^MDC|1|754241
 ^MDC_IDC_ENUM_CHANNEL_STATUS_CheckLead^MDC|||||F
 OBX|214|NM|729344^MDC_IDC_SET_CRT_LVRV_DELAY^MDC||-100|ms|||||F
 OBX|215|CWE|729408^MDC_IDC_SET_CRT_PACED_CHAMBERS^MDC||755265
 ^MDC_IDC_ENUM_CRT_PACED_CHAMBERS_RV_Only^MDC|||||F
 OBX|216|NM|729536^MDC_IDC_SET_LEADCHNL_RA_SENSING_SENSITIVITY^MDC||0.5|mV|||||F
 OBX|217|NM|729537^MDC_IDC_SET_LEADCHNL_RV_SENSING_SENSITIVITY^MDC||0.9|mV|||||F
 OBX|218|NM|729539^MDC_IDC_SET_LEADCHNL_LV_SENSING_SENSITIVITY^MDC||1.0|mV|||||F
 OBX|219|CWE|729600^MDC_IDC_SET_LEADCHNL_RA_SENSING_POLARITY^MDC|||||OFF|||F
 OBX|220|CWE|729601^MDC_IDC_SET_LEADCHNL_RV_SENSING_POLARITY^MDC||754305
 ^MDC_IDC_ENUM_POLARITY_UNI^MDC|||||F
 OBX|221|CWE|729676^MDC_IDC_SET_LEADCHNL_LV_SENSING_ANODE_LOCATION^MDC||754498
 ^MDC_IDC_ENUM_ELECTRODE_LOCATION_RV^MDC|||||F
 OBX|222|CWE|729740^MDC_IDC_SET_LEADCHNL_LV_SENSING_ANODE_ELECTRODE^MDC|||||OFF|||F
 OBX|223|CWE|729804^MDC_IDC_SET_LEADCHNL_LV_SENSING_CATHODE_LOCATION^MDC|||||OFF|||F
 OBX|224|CWE|729868^MDC_IDC_SET_LEADCHNL_LV_SENSING_CATHODE_ELECTRODE^MDC||754561
 ^MDC_IDC_ENUM_ELECTRODE_NAME_Tip^MDC|||||F
 OBX|225|CWE|729920^MDC_IDC_SET_LEADCHNL_RA_SENSING_ADAPTATION_MODE^MDC||754625
 ^MDC_IDC_ENUM_SENSING_ADAPTATION_MODE_AdaptiveSensing^MDC|||||F
 OBX|226|CWE|729921^MDC_IDC_SET_LEADCHNL_RV_SENSING_ADAPTATION_MODE^MDC||754625
 ^MDC_IDC_ENUM_SENSING_ADAPTATION_MODE_AdaptiveSensing^MDC|||||F
 OBX|227|CWE|729923^MDC_IDC_SET_LEADCHNL_LV_SENSING_ADAPTATION_MODE^MDC||754626
 ^MDC_IDC_ENUM_SENSING_ADAPTATION_MODE_FixedSensing^MDC|||||F
 OBX|228|NM|729984^MDC_IDC_SET_LEADCHNL_RA_PACING_AMPLITUDE^MDC||5.1|V|||||F
 OBX|229|NM|729985^MDC_IDC_SET_LEADCHNL_RV_PACING_AMPLITUDE^MDC||5.0|V|||||F
 OBX|230|NM|729987^MDC_IDC_SET_LEADCHNL_LV_PACING_AMPLITUDE^MDC||2.8|V|||||F
 OBX|231|NM|730048^MDC_IDC_SET_LEADCHNL_RA_PACING_PULSEWIDTH^MDC||100.0|ms|||||F
 OBX|232|NM|730049^MDC_IDC_SET_LEADCHNL_RV_PACING_PULSEWIDTH^MDC||200.0|ms|||||F
 OBX|233|NM|730051^MDC_IDC_SET_LEADCHNL_LV_PACING_PULSEWIDTH^MDC||300.0|ms|||||F
 OBX|234|CWE|730112^MDC_IDC_SET_LEADCHNL_RA_PACING_POLARITY^MDC||754305
 ^MDC_IDC_ENUM_POLARITY_UNI^MDC|||||F
 OBX|235|CWE|730113^MDC_IDC_SET_LEADCHNL_RV_PACING_POLARITY^MDC||754305
 ^MDC_IDC_ENUM_POLARITY_UNI^MDC|||||F
 OBX|236|CWE|730188^MDC_IDC_SET_LEADCHNL_LV_PACING_ANODE_LOCATION^MDC||754498
 ^MDC_IDC_ENUM_ELECTRODE_LOCATION_RV^MDC|||||F
 OBX|237|CWE|730252^MDC_IDC_SET_LEADCHNL_LV_PACING_ANODE_ELECTRODE^MDC||754564
 ^MDC_IDC_ENUM_ELECTRODE_NAME_Ring2^MDC|||||F
 OBX|238|CWE|730316^MDC_IDC_SET_LEADCHNL_LV_PACING_CATHODE_LOCATION^MDC||754500
 ^MDC_IDC_ENUM_ELECTRODE_LOCATION_LV^MDC|||||F

OBX|239|CWE|730380^MDC_IDC_SET_LEADCHNL_LV_PACING_CATHODE_ELECTRODE^MDC||754566
 ^MDC_IDC_ENUM_ELECTRODE_NAME_Ring4^MDC|||||F
 OBX|240|CWE|730432^MDC_IDC_SET_LEADCHNL_RA_PACING_CAPTURE_MODE^MDC||754690
 ^MDC_IDC_ENUM_PACING_CAPTURE_MODE_FixedPacing^MDC|||||F
 OBX|241|CWE|730433^MDC_IDC_SET_LEADCHNL_RV_PACING_CAPTURE_MODE^MDC||754691
 ^MDC_IDC_ENUM_PACING_CAPTURE_MODE_MonitorCapture^MDC|||||F
 OBX|242|CWE|730435^MDC_IDC_SET_LEADCHNL_LV_PACING_CAPTURE_MODE^MDC||754690
 ^MDC_IDC_ENUM_PACING_CAPTURE_MODE_FixedPacing^MDC|||||F
 OBX|243|CWE|730752^MDC_IDC_SET_BRADY_MODE^MDC||754760^MDC_IDC_ENUM_BRADY_MODE_DDD
 ^MDC|||||F
 OBX|244|NM|730880^MDC_IDC_SET_BRADY_LOWRATE^MDC||100|{beats}/min|||||F
 OBX|245|ST|731072^MDC_IDC_SET_BRADY_SENSOR_TYPE^MDC||Accelerometer + MV|||||F
 OBX|246|NM|731136^MDC_IDC_SET_BRADY_MAX_TRACKING_RATE^MDC||130|{beats}/min|||||F
 OBX|247|NM|731200^MDC_IDC_SET_BRADY_MAX_SENSOR_RATE^MDC||180|{beats}/min|||||F
 OBX|248|NM|731265^MDC_IDC_SET_BRADY_SAV_DELAY_HIGH^MDC||102|ms|||||F
 OBX|249|NM|731266^MDC_IDC_SET_BRADY_SAV_DELAY_LOW^MDC||101|ms|||||F
 OBX|250|NM|731329^MDC_IDC_SET_BRADY_PAV_DELAY_HIGH^MDC||104|ms|||||F
 OBX|251|NM|731330^MDC_IDC_SET_BRADY_PAV_DELAY_LOW^MDC||103|ms|||||F
 OBX|252|CWE|731392^MDC_IDC_SET_BRADY_AT_MODE_SWITCH_MODE^MDC||754763
 ^MDC_IDC_ENUM_BRADY_MODE_DDIR^MDC|||||F
 OBX|253|NM|731456^MDC_IDC_SET_BRADY_AT_MODE_SWITCH_RATE^MDC||130|{beats}/min|||||F
 OBX|254|CWE|731520^MDC_IDC_SET_TACHYTHERAPY_VSTAT^MDC||754817
 ^MDC_IDC_ENUM_THERAPY_STATUS_On^MDC|||||F
 OBX|255|CWE|731648^MDC_IDC_SET_ZONE_TYPE^MDC||1|754945^MDC_IDC_ENUM_ZONE_TYPE_Zone_VF
 ^MDC|||||F
 OBX|256|CWE|731712^MDC_IDC_SET_ZONE_VENDOR_TYPE^MDC||1|771139
 ^MDC_IDC_ENUM_ZONE_VENDOR_TYPE_BSX-Zone_VF^MDC|||||F
 OBX|257|CWE|731776^MDC_IDC_SET_ZONE_STATUS^MDC||1|755009
 ^MDC_IDC_ENUM_ZONE_STATUS_Active^MDC|||||F
 OBX|258|NM|731840^MDC_IDC_SET_ZONE_DETECTION_INTERVAL^MDC||1|462|ms|||||F.
 OBX|259|CWE|732097^MDC_IDC_SET_ZONE_TYPE_ATP_1^MDC||1|755073
 ^MDC_IDC_ENUM_ATP_TYPE_Burst^MDC|||||F
 OBX|260|NM|732161^MDC_IDC_SET_ZONE_NUM_ATP_SEQS_1^MDC||1|1|||||F
 OBX|261|NM|732225^MDC_IDC_SET_ZONE_SHOCK_ENERGY_1^MDC||1|21.1|J|||||F
 OBX|262|NM|732289^MDC_IDC_SET_ZONE_NUM_SHOCKS_1^MDC||1|1|||||F
 OBX|263|NM|732226^MDC_IDC_SET_ZONE_SHOCK_ENERGY_2^MDC||1|31.1|J|||||F
 OBX|264|NM|732290^MDC_IDC_SET_ZONE_NUM_SHOCKS_2^MDC||1|1|||||F
 OBX|265|NM|732227^MDC_IDC_SET_ZONE_SHOCK_ENERGY_3^MDC||1|41.1|J|||||F
 OBX|266|NM|732291^MDC_IDC_SET_ZONE_NUM_SHOCKS_3^MDC||1|6|||||F
 OBX|267|CWE|731648^MDC_IDC_SET_ZONE_TYPE^MDC||2|754946^MDC_IDC_ENUM_ZONE_TYPE_Zone_VT
 ^MDC|||||F
 OBX|268|CWE|731712^MDC_IDC_SET_ZONE_VENDOR_TYPE^MDC||2|771137
 ^MDC_IDC_ENUM_ZONE_VENDOR_TYPE_BSX-Zone_VT^MDC|||||F
 OBX|269|CWE|731776^MDC_IDC_SET_ZONE_STATUS^MDC||2|755009
 ^MDC_IDC_ENUM_ZONE_STATUS_Active^MDC|||||F
 OBX|270|NM|731840^MDC_IDC_SET_ZONE_DETECTION_INTERVAL^MDC||2|463|ms|||||F
 OBX|271|CWE|732097^MDC_IDC_SET_ZONE_TYPE_ATP_1^MDC||2|755073
 ^MDC_IDC_ENUM_ATP_TYPE_Burst^MDC|||||F
 OBX|272|NM|732161^MDC_IDC_SET_ZONE_NUM_ATP_SEQS_1^MDC||2|2|||||F
 OBX|273|CWE|732098^MDC_IDC_SET_ZONE_TYPE_ATP_2^MDC||2|755074
 ^MDC_IDC_ENUM_ATP_TYPE_Ramp^MDC|||||F
 OBX|274|NM|732162^MDC_IDC_SET_ZONE_NUM_ATP_SEQS_2^MDC||2|3|||||F
 OBX|275|NM|732225^MDC_IDC_SET_ZONE_SHOCK_ENERGY_1^MDC||2|22.2|J|||||F
 OBX|276|NM|732289^MDC_IDC_SET_ZONE_NUM_SHOCKS_1^MDC||2|1|||||F
 OBX|277|NM|732226^MDC_IDC_SET_ZONE_SHOCK_ENERGY_2^MDC||2|32.2|J|||||F
 OBX|278|NM|732290^MDC_IDC_SET_ZONE_NUM_SHOCKS_2^MDC||2|1|||||F
 OBX|279|NM|732227^MDC_IDC_SET_ZONE_SHOCK_ENERGY_3^MDC||2|42.2|J|||||F
 OBX|280|NM|732291^MDC_IDC_SET_ZONE_NUM_SHOCKS_3^MDC||2|3|||||F
 OBX|281|CWE|731648^MDC_IDC_SET_ZONE_TYPE^MDC||3|754946^MDC_IDC_ENUM_ZONE_TYPE_Zone_VT
 ^MDC|||||F
 OBX|282|CWE|731712^MDC_IDC_SET_ZONE_VENDOR_TYPE^MDC||3|771138
 ^MDC_IDC_ENUM_ZONE_VENDOR_TYPE_BSX-Zone_VT-1^MDC|||||F
 OBX|283|CWE|731776^MDC_IDC_SET_ZONE_STATUS^MDC||3|755009
 ^MDC_IDC_ENUM_ZONE_STATUS_Active^MDC|||||F
 OBX|284|NM|731840^MDC_IDC_SET_ZONE_DETECTION_INTERVAL^MDC||3|465|ms|||||F

OBX|285|CWE|732097^MDC_IDC_SET_ZONE_TYPE_ATP_1^MDC|3|755074
 ^MDC_IDC_ENUM_ATP_TYPE_Ramp^MDC|||||F
 OBX|286|NM|732161^MDC_IDC_SET_ZONE_NUM_ATP_SEQS_1^MDC|3|4|||||F
 OBX|287|CWE|732098^MDC_IDC_SET_ZONE_TYPE_ATP_2^MDC|3|755076
 ^MDC_IDC_ENUM_ATP_TYPE_RampScan^MDC|||||F
 OBX|288|NM|732162^MDC_IDC_SET_ZONE_NUM_ATP_SEQS_2^MDC|3|5|||||F
 OBX|289|NM|732225^MDC_IDC_SET_ZONE_SHOCK_ENERGY_1^MDC|3|23.2|J|||||F
 OBX|290|NM|732289^MDC_IDC_SET_ZONE_NUM_SHOCKS_1^MDC|3|1|||||F
 OBX|291|NM|732226^MDC_IDC_SET_ZONE_SHOCK_ENERGY_2^MDC|3|33.2|J|||||F
 OBX|292|NM|732290^MDC_IDC_SET_ZONE_NUM_SHOCKS_2^MDC|3|1|||||F
 OBX|293|NM|732227^MDC_IDC_SET_ZONE_SHOCK_ENERGY_3^MDC|3|43.2|J|||||F
 OBX|294|NM|732291^MDC_IDC_SET_ZONE_NUM_SHOCKS_3^MDC|3|2|||||F
 OBX|295|DTM|737489^MDC_IDC_STAT_DTM_START^MDC||20120522|||||F
 OBX|296|DTM|737490^MDC_IDC_STAT_DTM_END^MDC||20120522|||||F
 OBX|297|DTM|737505^MDC_IDC_STAT_BRADY_DTM_START^MDC||20120522|||||F
 OBX|298|DTM|737506^MDC_IDC_STAT_BRADY_DTM_END^MDC||20120522|||||F
 OBX|299|NM|737520^MDC_IDC_STAT_BRADY_RA_PERCENT_PACED^MDC||0|%|||||F
 OBX|300|NM|737536^MDC_IDC_STAT_BRADY_RV_PERCENT_PACED^MDC||0|%|||||F
 OBX|301|DTM|737777^MDC_IDC_STAT_CRT_DTM_START^MDC||20120522|||||F
 OBX|302|DTM|737778^MDC_IDC_STAT_CRT_DTM_END^MDC||20120522|||||F
 OBX|303|NM|737792^MDC_IDC_STAT_CRT_LV_PERCENT_PACED^MDC||0|%|||||F
 OBX|304|CWE|737952^MDC_IDC_STAT_EPISODE_TYPE^MDC|1|754882
 ^MDC_IDC_ENUM_EPISODE_TYPE_Epis_VT^MDC|||||F
 OBX|305|CWE|737984^MDC_IDC_STAT_EPISODE_VENDOR_TYPE^MDC|1|771077
 ^MDC_IDC_ENUM_EPISODE_VENDOR_TYPE_BSX-Epis_NSVT^MDC|||||F
 OBX|306|NM|738000^MDC_IDC_STAT_EPISODE_RECENT_COUNT^MDC|1|0|||||F
 OBX|307|DTM|738017^MDC_IDC_STAT_EPISODE_RECENT_COUNT_DTM_START^MDC|1|20120522|||||F
 OBX|308|DTM|738018^MDC_IDC_STAT_EPISODE_RECENT_COUNT_DTM_END^MDC|1|20120522|||||F
 OBX|309|CWE|737952^MDC_IDC_STAT_EPISODE_TYPE^MDC|1|754882
 ^MDC_IDC_ENUM_EPISODE_TYPE_Epis_VT^MDC|||||F
 OBX|310|CWE|737984^MDC_IDC_STAT_EPISODE_VENDOR_TYPE^MDC|1||||||F
 OBX|311|NM|738000^MDC_IDC_STAT_EPISODE_RECENT_COUNT^MDC|1|0|||||F
 OBX|312|DTM|738017^MDC_IDC_STAT_EPISODE_RECENT_COUNT_DTM_START^MDC|1|20120522|||||F
 OBX|313|DTM|738018^MDC_IDC_STAT_EPISODE_RECENT_COUNT_DTM_END^MDC|1|20120522|||||F
 OBX|314|CWE|737952^MDC_IDC_STAT_EPISODE_TYPE^MDC|2|754884
 ^MDC_IDC_ENUM_EPISODE_TYPE_Epis_SVT^MDC|||||F
 OBX|315|CWE|737984^MDC_IDC_STAT_EPISODE_VENDOR_TYPE^MDC|2|771076
 ^MDC_IDC_ENUM_EPISODE_VENDOR_TYPE_BSX-Epis_SVT^MDC|||||F
 OBX|316|NM|738000^MDC_IDC_STAT_EPISODE_RECENT_COUNT^MDC|2|0|||||F
 OBX|317|DTM|738017^MDC_IDC_STAT_EPISODE_RECENT_COUNT_DTM_START^MDC|2|20120522|||||F
 OBX|318|DTM|738018^MDC_IDC_STAT_EPISODE_RECENT_COUNT_DTM_END^MDC|2|20120522|||||F
 OBX|319|CWE|737952^MDC_IDC_STAT_EPISODE_TYPE^MDC|4|754883
 ^MDC_IDC_ENUM_EPISODE_TYPE_Epis_ATAF^MDC|||||F
 OBX|320|CWE|737984^MDC_IDC_STAT_EPISODE_VENDOR_TYPE^MDC|4|771078
 ^MDC_IDC_ENUM_EPISODE_VENDOR_TYPE_BSX-Epis_ATR^MDC|||||F
 OBX|321|NM|738000^MDC_IDC_STAT_EPISODE_RECENT_COUNT^MDC|4|0|||||F
 OBX|322|DTM|738017^MDC_IDC_STAT_EPISODE_RECENT_COUNT_DTM_START^MDC|4|20120522|||||F
 OBX|323|DTM|738018^MDC_IDC_STAT_EPISODE_RECENT_COUNT_DTM_END^MDC|4|20120522|||||F
 OBX|324|CWE|737952^MDC_IDC_STAT_EPISODE_TYPE^MDC|5|754888
 ^MDC_IDC_ENUM_EPISODE_TYPE_Epis_Other^MDC|||||F
 OBX|325|CWE|737984^MDC_IDC_STAT_EPISODE_VENDOR_TYPE^MDC|5||||||F
 OBX|326|NM|738000^MDC_IDC_STAT_EPISODE_RECENT_COUNT^MDC|5|0|||||F
 OBX|327|DTM|738017^MDC_IDC_STAT_EPISODE_RECENT_COUNT_DTM_START^MDC|5|20120522|||||F
 OBX|328|DTM|738018^MDC_IDC_STAT_EPISODE_RECENT_COUNT_DTM_END^MDC|5|20120522|||||F
 OBX|329|CWE|737952^MDC_IDC_STAT_EPISODE_TYPE^MDC|6|754881
 ^MDC_IDC_ENUM_EPISODE_TYPE_Epis_VF^MDC|||||F
 OBX|330|CWE|737984^MDC_IDC_STAT_EPISODE_VENDOR_TYPE^MDC|6|771073
 ^MDC_IDC_ENUM_EPISODE_VENDOR_TYPE_BSX-Epis_VF^MDC|||||F
 OBX|331|NM|738000^MDC_IDC_STAT_EPISODE_RECENT_COUNT^MDC|6|1|||||F
 OBX|332|DTM|738017^MDC_IDC_STAT_EPISODE_RECENT_COUNT_DTM_START^MDC|6|20120522|||||F
 OBX|333|DTM|738018^MDC_IDC_STAT_EPISODE_RECENT_COUNT_DTM_END^MDC|6|20120522|||||F
 OBX|334|CWE|737952^MDC_IDC_STAT_EPISODE_TYPE^MDC|7|754882
 ^MDC_IDC_ENUM_EPISODE_TYPE_Epis_VT^MDC|||||F
 OBX|335|CWE|737984^MDC_IDC_STAT_EPISODE_VENDOR_TYPE^MDC|7|771074
 ^MDC_IDC_ENUM_EPISODE_VENDOR_TYPE_BSX-Epis_VT^MDC|||||F

OBX|336|NM|738000^MDC_IDC_STAT_EPISODE_RECENT_COUNT^MDC|7|2|||||F
OBX|337|DTM|738017^MDC_IDC_STAT_EPISODE_RECENT_COUNT_DTM_START^MDC|7|20120522|||||F
OBX|338|DTM|738018^MDC_IDC_STAT_EPISODE_RECENT_COUNT_DTM_END^MDC|7|20120522|||||F
OBX|339|CWE|737952^MDC_IDC_STAT_EPISODE_TYPE^MDC|8|754882
 ^MDC_IDC_ENUM_EPISODE_TYPE_Epis_VT^MDC|||||F
OBX|340|CWE|737984^MDC_IDC_STAT_EPISODE_VENDOR_TYPE^MDC|8|771075
 ^MDC_IDC_ENUM_EPISODE_VENDOR_TYPE_BSX-Epis_VT-1^MDC|||||F
OBX|341|NM|738000^MDC_IDC_STAT_EPISODE_RECENT_COUNT^MDC|8|3|||||F
OBX|342|DTM|738017^MDC_IDC_STAT_EPISODE_RECENT_COUNT_DTM_START^MDC|8|20120522|||||F
OBX|343|DTM|738018^MDC_IDC_STAT_EPISODE_RECENT_COUNT_DTM_END^MDC|8|20120522|||||F
OBX|344|CWE|737952^MDC_IDC_STAT_EPISODE_TYPE^MDC|9|754884
 ^MDC_IDC_ENUM_EPISODE_TYPE_Epis_Monitor^MDC|||||F
OBX|345|CWE|737984^MDC_IDC_STAT_EPISODE_VENDOR_TYPE^MDC|9||||||F
OBX|346|NM|738000^MDC_IDC_STAT_EPISODE_RECENT_COUNT^MDC|9|4|||||F
OBX|347|DTM|738017^MDC_IDC_STAT_EPISODE_RECENT_COUNT_DTM_START^MDC|9|20120522|||||F
OBX|348|DTM|738018^MDC_IDC_STAT_EPISODE_RECENT_COUNT_DTM_END^MDC|9|20120522|||||F

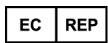
Outdated version. Do not use.
Version überholt. Nicht verwenden.
Version obsoleté. Ne pas utiliser.
Versión obsoleta. No utilizar.
Versione obsoleta. Non utilizzare.
Verouderde versie. Niet gebruiken.
Föråldrad version. Använd ej.
Þaðið ekki. Þaðið ekki. Minn tny xpnoiquottolisejτ.
Versão obsoleta. Não utilize.
Forældet version. Må ikke anvendes.
Zastaralá verze. Nepoužívat.
Utdatert versjon. Skal ikke brukes.
Zastaraná verzia. Nepoužívat.
Elavult verzió. Ne használja!
Wersja nieaktualna. Nie używać.

Outdated version. Do not use.
Version überholt. Nicht verwenden.
Version obsoète. Ne pas utiliser.
Versión obsoleta. No utilizar.
Versione obsoleta. Non utilizzare.
Verouderde versie. Niet gebruiken.
Föråldrad version. Använd ej.
Þaðið ékðoðn. Mnv mny xponuquotolejτ.
Versão obsoleta. Não utilize.
Forældet version. Må ikke anvendes.
Zastaralà verze. Nepoužívat.
Utdatert versjon. Skal ikke brukes.
Zastaraná verzia. Nepoužívat!
Elavult verzió. Ne használja!
Wersja nieaktualna. Nie używać.

Outdated version. Do not use.
Version überholt. Nicht verwenden.
Version obsoète. Ne pas utiliser.
Versión obsoleta. No utilizar.
Versione obsoleta. Non utilizzare.
Verouderde versie. Niet gebruiken.
Föråldrad version. Använd ej.
Παλιά έκδοση. Μην την χρησιμοποιείτε.
Versão obsoleta. Não utilize.
Forældet version. Må ikke anvendes.
Zastaralå verze. Nepoužívat.
Utdatert versjon. Skal ikke brukes.
Zastaraná verzia. Nepoužívat!
Elavult verzió. Ne használja!
Wersja nieaktualna. Nie używać.



Boston Scientific
4100 Hamline Avenue North
St. Paul, MN 55112-5798 USA



Guidant Europe NV/SA; Boston Scientific
Green Square, Lambroekstraat 5D
1831 Diegem, Belgium

1.800.CARDIAC (227.3422)
+1.651.582.4000

www.bostonscientific.com

© 2014 Boston Scientific Corporation or its affiliates.
All rights reserved.

359273-016 NL Europe 2014-05

CE0086

